

# پنهان‌نگاری معکوس‌پذیر در تصاویر رمز شده با استفاده از همبستگی پیکسل‌های مجاور و کدبندی حسابی

عمار محمدی<sup>۱</sup>، دانشجوی دکتری؛ منصور نخکش<sup>۲</sup>، دانشیار

۱- دانشکده مهندسی برق و کامپیوتر - دانشگاه یزد - ایران - mohammadi\_a@stu.yazd.ac.ir

۲- دانشکده مهندسی برق و کامپیوتر - دانشگاه یزد - ایران - nakhkash@yazd.ac.ir

**چکیده:** این مقاله روشی در پنهان‌نگاری معکوس‌پذیر در تصویر رمز شده را معرفی می‌کند که از همبستگی پیکسل‌های مجاور در تصویر بهره می‌برد. در روش پیشنهادی، تصویر اصلی می‌تواند با الگوریتم رمز دلخواه رمز شود. بیت‌هایی با ارزش بیشتر در پیکسل‌های تصویر به منظور ایجاد فضای خالی برای پنهان‌نگاری بیت‌های داده به کار گرفته می‌شوند. در این رویکرد تصویر به قالب‌های مجزا تقسیم و مرکزی‌ترین پیکسل در هر قالب به عنوان پیکسل مبنا در نظر گرفته می‌شود. خطای پیش‌بینی بین شدت پیکسل مبنا و شدت پیکسل‌های دیگر در قالب محاسبه و پیش‌بینی محلی نامیده می‌شود. این خطا به منظور بدست آوردن یک ویژگی از ظرفیت ذخیره هر قالب تحلیل می‌گردد. ویژگی‌های محاسبه شده برای تمام قالب‌ها توسط کدبندی حسابی، فشرده و ویژگی‌های فشرده شده به همراه بیت‌های داده در تصویر تعبیه می‌شوند. در گیرنده در ابتدا ویژگی‌های فشرده شده استخراج، سپس نافشرده<sup>۲</sup> شده و به منظور بازیابی بدون اتلاف تصویر اصلی و استخراج بیت‌های داده به کار گرفته می‌شوند. نتایج آزمایش تایید می‌کند که روش پیشنهادی روش‌های جدید در این زمینه را بهبود می‌دهد.

**واژه‌های کلیدی:** تصویر رمز شده، همبستگی، خطای پیش‌بینی، پنهان‌نگاری معکوس‌پذیر، کدبندی حسابی.

## Reversible Data Hiding in Encrypted Images using Correlation of Neighboring Pixels and Arithmetic Coding

A. Mohammadi<sup>1</sup>, PhD Student; M. Nakhkash<sup>2</sup>, Associate Professor

1- Faculty of Electrical and Computer Engineering, Yazd University, Yazd, Iran, Email: mohammadi\_a@stu.yazd.ac.ir

2- Faculty of Electrical and Computer Engineering, Yazd University, Yazd, Iran, Email: nakhkash@yazd.ac.ir

**Abstract:** This paper presents a reversible data hiding method in encrypted image that employs correlation of neighboring pixels in the image. In the proposed method, original image may be encrypted by desire encryption algorithm. More significant bits of the pixels in the image are exploited to vacate room for embedding data bits. In the approach, image is divided into separated blocks and most central pixel of each block is considered as reference one. The prediction error between the intensity of other pixels and reference one is calculated and denoted local prediction. This error is analyzed determining a feature of block embedding capacity. Calculated features for all blocks are compressed employing arithmetic coding and embedded in the image along with data bits. At the recipient, at first, compressed features are extracted, then they are uncompressed and used to lossless reconstruction of the original image and extraction of the data bits. Experimental results confirm that the proposed algorithm outperforms state of the art ones.

**Keywords:** Encrypted image, Correlation, Prediction error, Reversible data hiding, Arithmetic coding.

تاریخ ارسال مقاله: ۱۳۹۸/۰۸/۱۱

تاریخ اصلاح مقاله: ۱۳۹۸/۰۹/۲۲

تاریخ پذیرش مقاله: ۱۳۹۸/۰۹/۲۳

نام نویسنده مسئول: منصور نخکش

نشانی نویسنده مسئول: ایران - یزد - دانشگاه یزد - دانشکده مهندسی برق و کامپیوتر.

## ۱- مقدمه

در طرح های **افبر** پنهان کننده هیچ اطلاعاتی از تصویر اصلی ندارد. تصویر اصلی رمز می شود و پنهان کننده ای که کاملاً نا آگاه به اطلاعات تصویر اصلی است در تصویر رمز شده فضایی به منظور پنهان نگاری داده فراهم می کند. بعضی از روش های **افبر** مطرح شده جدایی پذیر [۲۷، ۲۵] و برخی دیگر جدایی ناپذیر [۲۶، ۲۸، ۲۹] هستند. در طرح [۳۰] دو روش مجزا یکی جدایی پذیر و دیگری جدایی ناپذیر مطرح شده است.

روش مطرح شده در این مقاله از نوع **افقر** است. به بر سی روش های مطرح شده در این حوزه می پردازیم. با استفاده از روش های سنتی پنهان نگاری معکوس پذیر، **Ma** و همکاران [۱۱] با پنهان نگاری کم ارزش ترین بیت های<sup>۱۰</sup> برخی از پیکسل ها در پیکسل های دیگر فضایی به منظور پنهان نگاری بیت های داده فراهم می کنند. لازم به ذکر است که این فضا قبل از رمز نگاری تصویر فراهم می شود. بعد از رمز نگاری فضای فراهم شده به منظور تعبیه بیت های پیام به کار گرفته می شود. طرح پیشنهادی در [۱۵] روش [۱۱] را با معرفی سطح بهم پیوسته تنک<sup>۱۱</sup> بهبود دادند. همچنین **Puteaux** و **Puech** [۱۷] دو روش متفاوت بر مبنای **افقر** معرفی کرده اند. این روش ها ظرفیت بالایی را به منظور پنهان نگاری بیت های داده فراهم می کند. در یکی از این روش ها بازیابی بدون اتلاف تصویر اصلی در گیرنده امکان پذیر است. این روش همبستگی پیکسل های مجاور را به خدمت می گیرد به طوری که یک پیکسل به و سیله پیکسل های کناری خود پیش بینی می شود. بر این اساس خطای پیش بینی برای هر پیکسل محاسبه و بر اساس این خطاها برچسب هایی در نظر گرفته می شود. این برچسب ها شامل یک بیت صفر و یا یک است. بعد از رمز نگاری بر اساس این برچسب ها بیت های داده در با ارزش ترین بیت<sup>۱۲</sup> های پیکسل های رمز شده تعبیه می شوند. از آنجایی که این برچسب ها بر اساس پیش بینی خطا شکل گرفته اند می توان با انتخاب پیش بینی کننده های مختلف روش های متفاوتی را به منظور فراهم آوردن این برچسب ها پیشنهاد کرد. همچنین با افزایش تعداد بیت های اختصاص یافته برای هر برچسب بیت های بیشتری از پیکسل های رمز شده را به منظور پنهان نگاری بیت های داده به کار گرفت. برای مثال [۱۲] پیش بینی کننده **MED**<sup>۱۳</sup> را به منظور بدست آوردن خطای پیش بینی به خدمت گرفت و در پی آن بر چسب هایی متناسب با خطای محاسبه شده در نظر گرفته می شوند.

الگوریتم مطرح شده در این مقاله با الهام از طرح [۱۷] مطرح می شود. در طرح پیشنهادی از پیش بینی کننده محلی به منظور پیش بینی خطا استفاده کرده ایم. این پیش بینی کننده برای اولین بار در [۹] مطرح شده است. بر این اساس مرکزی ترین پیکسل در هر قالب به عنوان پیکسل مبنا در نظر گرفته شده و تفاوت پیکسل های دیگر از پیکسل مبنا در هر قالب خطای پیش بینی را محقق می سازد. با بررسی خطا می توان ویژگی از ظرفیت ذخیره هر قالب را در نظر گرفت.

پنهان نگاری معکوس پذیر<sup>۳</sup> در تصویر رشد چشمگیری در سال های اخیر داشته است [۱]. در پنهان نگاری معکوس پذیر داده در تصویر به صورتی پنهان می شود که تصویر اصلی به شکل بدون اتلاف<sup>۴</sup> قابل بازیابی باشد و داده بدون خطا استخراج شود. روش های مطرح در پنهان نگاری معکوس پذیر به سه دسته کلی تقسیم می شوند که عبارتند از: گسترش تفاوت<sup>۵</sup> [۲]، تغییر هیستوگرام<sup>۶</sup> [۳] و فشرده سازی بدون اتلاف [۴]. روش های پیشرفته تر همچنین از روش مکمل پیش بینی خطا<sup>۷</sup> به منظور افزایش ظرفیت ذخیره در سطح مشخصی از اعوجاج تصویر بهره می برند [۵-۹]. هرچقدر پیش بینی بهتری انجام شود هیستوگرام تیزتری<sup>۸</sup> از خطا فراهم می شود.

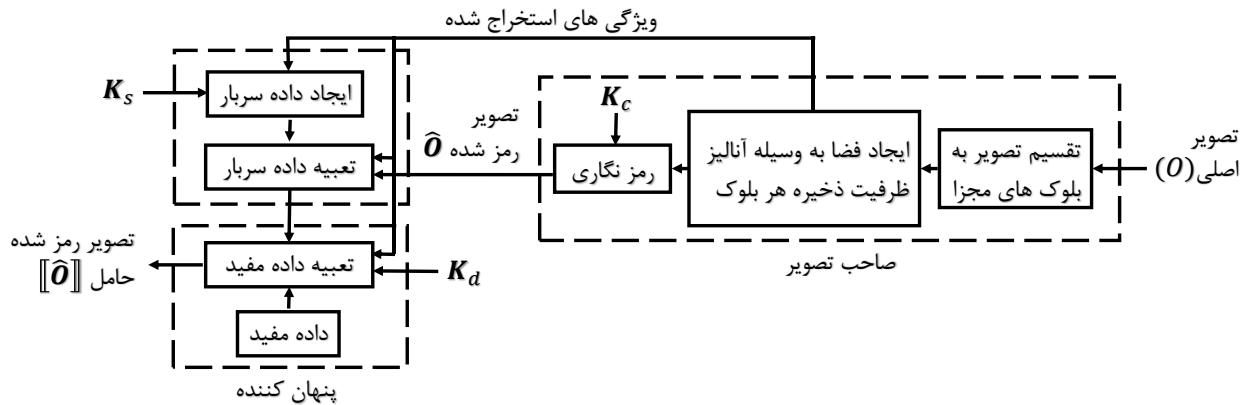
پنهان نگاری معکوس پذیر در تصویر رمز شده، نیازی است که به واسطه محاسبات ابری<sup>۹</sup> مطرح شده و توجه محققان بسیاری را در سال های اخیر بر انگیزه کرده است. در این نوع از پنهان نگاری سه طرف عامل داریم که عبارتند از: صاحب تصویر، پنهان کننده داده و گیرنده. صاحب تصویر که اعتمادی به متولی کانال ارتباطی ندارد به منظور حفظ حریم شخصی تصویر را قبل از ارسال به کانال رمز می کند. باید خاطرنشان کرد صاحب تصویر علاقه ای به فشرده سازی تصویر قبل از رمز نگاری ندارد. در سمت دیگر، پنهان کننده پیام که می تواند متولی کانال باشد در حالی که مجوزی برای دسترسی به اطلاعات تصویر اصلی ندارد اجازه دارد داده های مفیدی را در تصویر رمز شده جاسازی کند. روشی که پنهان کننده داده به کار می برد باید به شکلی باشد که بازیابی بدون اتلاف تصویر اصلی و استخراج بدون خطای داده را تضمین کند. این چالشی است که موجب گسترش روش های پنهان نگاری معکوس پذیر در تصویر رمز شده شده است.

روش های مطرح در پنهان نگاری معکوس پذیر در تصویر رمز شده به سه دسته اصلی تقسیم می شوند. که عبارتند از: الگوریتم هایی مبتنی بر ایجاد فضا قبل از رمز نگاری (**افقر**) [۱۰-۱۷]، ایجاد فضا توسط رمز نگاری (**افتر**) [۱۸-۲۴] و ایجاد فضا بعد از رمز نگاری (**افبر**) [۲۵-۳۰].

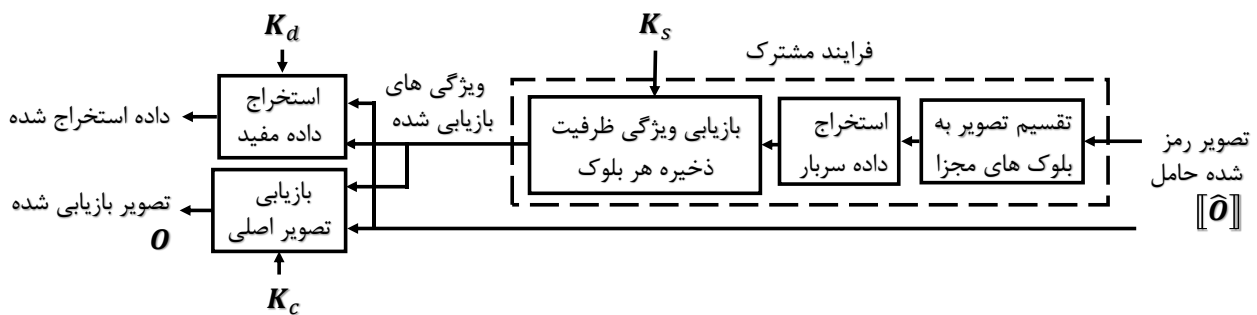
در **افقر** پیش از رمز نگاری پیش پردازشی به منظور ایجاد فضای خالی محقق می شود.

بیشتر روش ها در **افتر** بر مبنای استفاده از بایت های رمز یکسان به منظور رمز کردن چند پیکسل مجاور در تصویر شکل گرفته اند. در این روش ها همبستگی پیکسل ها مجاور در فرایند رمز نگاری حفظ می شود. اگرچه به واسطه حفظ این همبستگی پنهان کننده می تواند داده را در تصویر رمز شده پنهان کند وجود این همبستگی می تواند به معنای نشت اطلاعات تصویر اصلی نیز باشد.

روش های مطرح در **افقر** و **افتر** روش های جدایی پذیر هستند به این معنا که استخراج داده در گیرنده به داشتن تصویر رمز گشایی شده گره نخورده است. به بیان دیگر در روش های جدایی ناپذیر استخراج پیام تنها با داشتن تصویر رمز گشایی شده در گیرنده امکان پذیر است.



(الف)



(ب)

شکل ۱: نمای کلی از طرح پیشنهادی. (الف) پنهان‌نگاری داده و ایجاد تصویر رمز شده حامل. (ب) استخراج داده و بازیابی تصویر اصلی.

مربوط به هر قالب محاسبه می‌گردد. این ویژگی‌ها به منظور تعبیه بیت‌های داده بعد از رمزنگاری تصویر به کار گرفته می‌شوند. پیکسل‌های تصویر می‌تواند به هر روش و یا با هر الگوریتم استاندارد رمز شوند و حتی قالب‌ها نیز می‌توانند چین‌رنگاری‌جا به‌جا شوند به شرطی که ویژگی‌متناظر با هر قالب در دسترس و مکان بیت‌ها در هر قالب بدون تغییر باشد. رمزنگاری می‌تواند به واسطه یک کلید امن ورودی ( $K_c$ ) به الگوریتم رمز محقق می‌شود. به علاوه این ویژگی‌ها فشرده و به وسیله کلید  $K_s$  توسط پنهان‌کننده داده رمز و به عنوان داده سربرار در نظر گرفته می‌شود.  $K_s$  کلیدی است که به صورت مشترک در دسترس مالک تصویر و پنهان‌کننده داده قرار دارد. داده سربرار به شکل سلسله‌مراتبی به همراه داده مفید در تصویر رمز شده تعبیه و در نتیجه تصویر رمز شده حامل ساخته می‌شود. داده مفید قبل از تعبیه با کلید  $K_d$  توسط پنهان‌کننده داده رمز می‌شود. در گیرنده همان‌طور که در شکل ۱-ب نمایش داده شده است استخراج بیت‌های داده و بازیابی بدون اتلاف تصویر اصلی محقق می‌شود. با توجه به شکل تصویر در ابتدا به قالب‌های مجزا تقسیم می‌شود. سپس ویژگی‌قالب‌ها استخراج، توسط کلید  $K_s$  رمزگشایی و نافشرده شده و به منظور بازیابی تصویر اصلی و استخراج بیت‌های داده به کار گرفته می‌شوند. اگر چه انجام این پردازش می‌تواند به طور مستقل به وسیله مالک تصویر و یا پنهان‌کننده داده انجام شود انجام آن توسط پنهان‌کننده داده عملی‌تر است. باید توجه شود که استخراج این ویژگی‌ها

این ویژگی مشخص می‌کند که هر قالب چه ظرفیتی را می‌تواند به منظور پنهان‌نگاری داده بعد از رمزنگاری فراهم سازد. این ویژگی‌ها برای تمام قالب‌ها محاسبه شده و توسط کدبندی حسابی به صورت بدون اتلاف فشرده می‌شوند و ویژگی‌های فشرده شده به همراه بیت‌های داده بعد از رمزنگاری در تصویر رمز شده به شکل معکوس‌پذیر تعبیه و تصویر رمز شده حامل را می‌سازند. در گیرنده در ابتدا ویژگی‌ها استخراج و بازیابی می‌شوند. با بهره‌گیری از آنها، بیت‌های داده استخراج و تصویر اصلی، بدون اتلاف بازیابی می‌گردد. طرح پیشنهادی از نوع جدایی‌پذیر است. روش پیشنهادی بهبود محسوس را نسبت به روش‌هایی که ظرفیت بالایی را فراهم کرده اند نشان می‌دهد.

## ۲- روش پیشنهادی

در این بخش روش پیشنهادی که شامل تحلیل ظرفیت فراهم شده، ایجاد فضا قبل از رمزنگاری، رمزنگاری تصویر، تعبیه بیت‌های داده و استخراج ویژگی، استخراج داده مفید و بازیابی تصویر اصلی است به تفصیل بیان می‌شود. در شکل ۱ شمای کلی از طرح پیشنهادی مطرح شده است. شکل ۱-الف روش پنهان‌نگاری در تصویر رمز شده را تشریح می‌کند که منجر به ایجاد تصویر رمز شده حامل می‌گردد و شکل ۲-ب فرایند استخراج بیت‌های داده و بازیابی تصویر اصلی را شرح می‌دهد. با توجه به شکل ۱-الف به منظور پنهان‌نگاری داده، تصویر در ابتدا به قالب‌های مجزا تقسیم و با پیش‌پردازش، ویژگی

$\mathbb{E}_k(1)$	$\mathbb{E}_k(2)$	$\mathbb{E}_k(3)$	$\mathbb{I}_{f_k}(1)$	$\mathbb{I}_{f_k}(2)$	$\mathbb{I}_{f_k}(3)$
$\mathbb{E}_k(4)$	$\mathbb{I}_{l_k}$	$\mathbb{E}_k(5)$	$\mathbb{I}_{f_k}(4)$	$\mathbb{I}_{l_k}$	$\mathbb{I}_{f_k}(5)$
$\mathbb{E}_k(6)$	$\mathbb{E}_k(7)$	$\mathbb{E}_k(8)$	$\mathbb{I}_{f_k}(6)$	$\mathbb{I}_{f_k}(7)$	$\mathbb{I}_{f_k}(8)$

شکل ۳: خطای پیش بینی برای یک

بلوک با اندازه  $3 \times 3$

شکل ۲: پیکسل مبنا و

پیکسل‌های مجاور در یک

بلوک با اندازه  $3 \times 3$

پرازش ترین آن  $\mathbb{I}_7$  می باشد توسط رابطه (۵) محقق می شود. در این رابطه  $D = \{d_0, d_1, \dots, d_{n'-1}\}$ ،  $n'$  بیت از داده بر روی  $\mathbb{I}$  پنهان و پیکسل حامل  $\mathbb{I}$  را می سازد.

$$\mathbb{I} = \sum_{k=1}^{n'} (2^{8-k} \times d_{k-1}) + \sum_{k=n'+1}^8 (\mathbb{I}_{8-k} \times 2^{8-k}) \quad (5)$$

در این رابطه  $\sum_{i=n}^m$  در صورتی که  $n > m$  باشد صفر در نظر گرفته می شود. در یک توصیف مختصری از روند پنهان نگاری داده در ابتدا  $n$  توسط رابطه (۳) محاسبه می شود سپس  $n'$  به وسیله رابطه (۴) بدست می آید و در نهایت  $n'$  بیت از داده در  $\mathbb{I}$  توسط رابطه (۵) تعبیه می گردد.

به عنوان مثال روند پنهان نگاری را با فرض  $|\mathbb{E}| < 32$  تشریح می کنیم. در ابتدا با استفاده از (۳)،  $n = 5$  محاسبه می شود. سپس  $n' = 2$  با در نظر گرفتن  $n$  و رابطه (۴) بدست می آید. در نهایت با استفاده از رابطه (۵)  $d_0$  و  $d_1$  در  $\mathbb{I}$  تعبیه و پیکسل حامل  $\mathbb{I} = d_0 d_1 \mathbb{I}_5 \mathbb{I}_4 \mathbb{I}_3 \mathbb{I}_2 \mathbb{I}_1 \mathbb{I}_0$  را می سازد.

در سمت گیرنده، واضح است که  $n'$  بیت داده در بیت هایی با ارزش بالاتر  $\mathbb{I}$  تعبیه شده اند. بنابراین با دانستن  $n'$  می توان داده را استخراج و پیکسل اصلی  $\mathbb{I}$  را بازیابی کرد. خاطرنشان می کنیم با داشتن  $n'$  مقدار  $n$  به راحتی محاسبه می شود و برعکس. در  $n = 0$ ،  $\mathbb{I}' = \mathbb{I}$  و در نتیجه  $\mathbb{I}$  به راحتی بازیابی می شود. این در حالی است که برای  $0 < n < 7$  تنها یک مقدار واحد برای  $\mathbb{I}$  وجود دارد که خطای پیش بینی آن در رابطه (۳) صدق می کند. برای اثبات می توانیم خطای پیش بینی را به صورت زیر دوباره نویسی کنیم.

$$-2^n < \mathbb{E} = (\mathbb{I} - \mathbb{I}') < 2^n \quad (6)$$

با توجه به (۶) هر تغییری در  $n'$  بیت با ارزش بالاتر از  $\mathbb{I}$  می تواند دستکم  $\pm 2^{8-n'}$  تغییر در مقدار  $\mathbb{I}$  ایجاد کند. به بیان دیگر این امر افزایش و یا کاهش در مقدار خطا دستکم به اندازه  $2^{8-n'} = 2^{n+1}$  را موجب می شود. باید توجه داشت که مقدار جدید خطا  $\mathbb{E}_n$  در رابطه  $\mathbb{E}_n = \mathbb{E} + 2^{n+1}$  و یا  $\mathbb{E}_n = \mathbb{E} - 2^{n+1}$  صدق می کند و در نتیجه  $\mathbb{E}_n$  چون خود خطای جدید است می باید در رابطه ۶ صدق کند. بنابراین داریم  $\mathbb{E}_n > 2^n$  و یا  $\mathbb{E}_n < -2^n$  که این خود در تناقض با رابطه (۶) است. نتیجه اینکه تنها یک مقدار واحد برای مقدار بازیابی شده  $\mathbb{I}$  وجود دارد که بتواند محدودیت خطا در رابطه (۶) را برآورده سازد.

خود به در اختیار داشتن این ویژگی ها وابسته است این تناقض به واسطه یک شیوه سلسله مراتبی که بعداً مطرح خواهد شد حل می شود. در نهایت تصویر اصلی به صورت بدون اتلاف با استفاده از کلید  $K_c$  و ویژگی های استخراج شده بازیابی و داده مفید توسط پنهان کننده داده تنها با داشتن  $K_d$  به شکل مجزا استخراج می گردد.

## ۲-۱- تحلیل ظرفیت ذخیره فراهم شده

در [۱۷] که یک روش پنهان نگاری ظرفیت بالا در تصویر رمز است خطای پیش بینی ( $\mathbb{E}$ ) بر طبق رابطه زیر محاسبه می شود.

$$\mathbb{E} = \mathbb{I} - \mathbb{I}' \quad (1)$$

این رابطه تفاوت بین شدت یک پیکسل ( $\mathbb{I}$ ) و مقدار پیش بینی آن ( $\mathbb{I}'$ ) را به عنوان خطای پیش بینی مشخص می کند. [۱۷] نشان می دهد که اگر

$$|\mathbb{E}| < 64 \quad (2)$$

برقرار باشد یک بیت داده می تواند در با ارزش ترین بیت  $\mathbb{I}$  تعبیه شود به طوری که در گیرنده توسط  $\mathbb{I}'$  قابل بازیابی باشد. الگوریتم مطرح شده در [۱۷] می تواند حداکثر یک بیت در هر پیکسل پنهان کند. با الهام از رابطه (۲)، می توان ظرفیت ذخیره بیشتری برای هر پیکسل با در نظر گرفتن رابطه (۳) فراهم کرد.

$$|\mathbb{E}| < 2^n \quad 0 \leq n \leq 7 \quad (3)$$

بر این اساس ظرفیت ذخیره در هر  $\mathbb{I}$  که با  $n'$  نمایش داده می شود توسط رابطه (۴) بدست می آید.

$$\begin{cases} n' = 8 - n - 1 & n \neq 0 \\ n' = 8 & n = 0 \end{cases} \quad (4)$$

بر طبق (۴)،  $n' = 7$  هرگز محقق نمی شود به این دلیل که یک بیت به منظور علامت خطای پیش بینی شده در نظر گرفته و از مقدار ظرفیت فراهم شده کم می شود. برای  $n = 0$ ، رابطه (۳) مقدار  $\mathbb{E} = 0$  را فراهم می کند و بنابراین ۸ بیت از داده می تواند در  $\mathbb{I}$  تعبیه شود. به بیان دیگر زمانی که شدت پیکسل دقیقاً برابر با مقدار پیش بینی شده می باشد می تواند به صورت کامل با بیت های داده جایگزین شود. در  $n = 7$ ، خطای پیش بینی می تواند هر مقداری در  $-128 < \mathbb{E} < 128$  داشته باشد. بدین معنی است که هیچ ظرفیتی برای پنهان نگاری بیت های داده وجود ندارد. در  $n = 6$ ، فقط یک بیت ظرفیت ( $n' = 1$ ) همان طور که در [۱۷] مطرح شده است، فراهم می شود.

روند پنهان نگاری داده در شدت یک پیکسل مثلاً  $\mathbb{I} = \mathbb{I}_7 \mathbb{I}_6 \mathbb{I}_5 \mathbb{I}_4 \mathbb{I}_3 \mathbb{I}_2 \mathbb{I}_1 \mathbb{I}_0$  که شامل هشت بیت از کم ارزش ترین بیت  $\mathbb{I}_0$  تا

## ۲-۲- ایجاد فضا قبل از رمز نگاری

به منظور بهره گیری از روش پنهان نگاری که در بخش ۲-۱ مطرح

شد برای قالب  $k$  ماکزیمم مقدار از اندازه المان های ماتریس  $\mathbb{E}_k$  بدست می آید و  $\mathbb{E}_{m_k}$  نامیده می شود.  $\mathbb{E}_{m_k}$  به جای  $|\mathbb{E}|$  در (۳) به منظور محاسبه  $n$  جایگزین و  $n$  محاسبه شده  $n_k$  نامید می شود. در ادامه،  $n'_k$  با استفاده از رابطه (۴) با جایگزین کردن  $n_k$  به جای  $n$  محاسبه می شود. به دلیل اینکه خطایی در قالب یافت نمی شود که اندازه آن بیشتر از  $\mathbb{E}_{m_k}$  باشد،  $n'_k$  بیت کمترین ظرفیتی است که می تواند توسط تمام پیکسل های مجاور در قالب  $k$  ام فراهم شود.  $n'_k$  به عنوان ویژگی از ظرفیت فراهم شده قالب  $k$  ام در نظر گرفته می شود. تعداد پیکسل ها در یک قالب با اندازه  $m \times l$  برابر  $(m \times l - 1)$  است بنابراین کل ظرفیت ذخیره داده برای قالب  $k$  ام از رابطه زیر بدست می آید.

$$\mathbb{C}_{b_k} = (n'_k) \times (m \times l - 1) \quad (11)$$

با توجه به تعداد کل قالب ها در تصویر که  $N_b$  است ظرفیت ذخیره داده برای کل تصویر از رابطه زیر بدست می آید.

$$\mathbb{C} = \sum_{k=1}^{k=N_b} \mathbb{C}_{b_k} \quad (12)$$

مجموعه  $\mathbb{N}' = \{n'_1, n'_2, \dots, n'_k, \dots, n'_{N_b}\}$  ویژگی ظرفیت ذخیره داده برای قالب های 1 تا  $N_b$  را شامل می شود. این مجموعه در گیرنده به منظور استخراج داده و بازیابی تصویر اصلی به کار گرفته می شود. اعضای این مجموعه به صورت سلسله مراتبی توسط کدبندی حسابی فشرده و سپس به منظور ایجاد داده سربرار رمز می شوند. بعد از رمز نگاری تصویر اصلی، داده سربرار به همراه داده مفید توسط  $\mathbb{N}'$  پنهان نگاری می گردند.

## ۲-۳- رمز کردن تصویر اصلی

در طرح پیشنهادی از هر الگوریتم و یا روش رمز نگاری می توان بهره برد. بدین ترتیب رمز نگاری می تواند توسط کلید  $K_c$  محقق شود. تنها محدودیت در طرح پیشنهادی این است که در رمز نگاری در هر قالب چیدمان پیکسل ها و یا بیت های هر پیکسل نباید تغییر کنند و یا حداقل اینکه این تغییرات در اختیار پنهان کننده قرار بگیرد. اگر تصویر اصلی را با  $O$  نمایش دهیم  $\hat{O}$  نمایشی از تصویر رمز شده است. بر این اساس می توان پیکسل های تشکیل دهنده  $\hat{O}$  را با توجه به (۷)، (۸) و (۹) به سه دسته به صورتی که در ادامه می بینیم نمایش داد.

$$\mathbb{I}_l = \{\hat{\mathbb{I}}_{l_1}, \hat{\mathbb{I}}_{l_2}, \dots, \hat{\mathbb{I}}_{l_k}, \dots, \hat{\mathbb{I}}_{l_{N_b}}\} \quad (13)$$

$$\mathbb{I}_f = \{\hat{\mathbb{I}}_{f_1}, \hat{\mathbb{I}}_{f_2}, \dots, \hat{\mathbb{I}}_{f_k}, \dots, \hat{\mathbb{I}}_{f_{N_b}}\} \quad (14)$$

$$\mathbb{I}_b = \{\hat{\mathbb{I}}_1, \hat{\mathbb{I}}_2, \hat{\mathbb{I}}_3, \dots, \hat{\mathbb{I}}_{k'}, \dots, \hat{\mathbb{I}}_{k'}\} \quad (15)$$

در این بخش روش ما به منظور ایجاد فضا قبل از رمز نگاری تشریح می گردد. در طرح [۹] روش پیش بینی محلی به منظور پنهان نگاری پیام در تصاویر پز شکی مطرح شده است. در پیش بینی محلی تفاوت پیکسل های مجاور از یک پیکسل مبنا در یک قالب از تصویر بدست می آید که خطای پیش بینی را در قالب شکل می دهد. در روش پیشنهادی، ما از ایده پیش بینی محلی به منظور ایجاد فضا قبل از رمز نگاری بهره می بریم.

فرض می کنیم تصویری داریم که شامل  $M \times L$  پیکسل است. این تصویر به تعداد  $N_b$  قالب با اندازه  $m \times l$  تقسیم می شود. این قالب ها را به صورت  $B = \{b_1, b_2, \dots, b_k, \dots, b_{N_b}\}$  نمایش می دهیم. این تقسیم می تواند با انتخاب اندازه های  $2 \times 2$ ،  $3 \times 3$ ، یا  $4 \times 4$  برای قالب ها محقق شود. در این قالب ها یک پیکسل مبنا وجود دارد که به منظور پیش بینی بقیه پیکسل ها به کار گرفته می شود. به طور کلی تمام پیکسل ها در تصویر می توانند به سه دسته  $\mathbb{I}_l$ ،  $\mathbb{I}_f$  و  $\mathbb{I}_b$  تقسیم شوند.  $\mathbb{I}_l$  پیکسل های مبنا در کل تصویر و  $\mathbb{I}_f$  پیکسل های مجاور این پیکسل ها در قالب ها هستند.  $\mathbb{I}_b$  پیکسل های مرزی در سطر و یا ستون های آخر تصویر هستند که در یک قالب قرار نمی گیرند. در (۷)، (۸) و (۹) این دسته پیکسل ها نمایش داده شده اند.

$$\mathbb{I}_l = \{\hat{\mathbb{I}}_{l_1}, \hat{\mathbb{I}}_{l_2}, \dots, \hat{\mathbb{I}}_{l_k}, \dots, \hat{\mathbb{I}}_{l_{N_b}}\} \quad (7)$$

$$\mathbb{I}_f = \{\hat{\mathbb{I}}_{f_1}, \hat{\mathbb{I}}_{f_2}, \dots, \hat{\mathbb{I}}_{f_k}, \dots, \hat{\mathbb{I}}_{f_{N_b}}\} \quad (8)$$

$$\mathbb{I}_b = \{\hat{\mathbb{I}}_1, \hat{\mathbb{I}}_2, \hat{\mathbb{I}}_3, \dots, \hat{\mathbb{I}}_{k'}, \dots, \hat{\mathbb{I}}_{k'}\} \quad (9)$$

در جایی که  $K'$  تعداد پیکسل های مرزی و  $\hat{\mathbb{I}}_{l_k}$  نمایش شدت یک پیکسل مبنا و  $\hat{\mathbb{I}}_{k'}$  نمایشی از شدت یک پیکسل مرزی است. همچنین  $\hat{\mathbb{I}}_{f_k}$  یک مجموعه از پیکسل های مجاور در قالب  $k$  ام است که  $\hat{\mathbb{I}}_{l_k}$  پیکسل مبنا در آن قالب است.

شکل ۲ نمایشی از  $k$  امین قالب با فرض اندازه قالب  $3 \times 3$  می باشد. در این شکل  $\mathbb{I}_f(i)$ ،  $1 \leq i \leq 8$ ، ۸ پیکسل مجاور را در قالب  $k$  ام تصویر به نمایش می گذارد.

همان طور که گفته شد بین  $\mathbb{I}_l$  و  $\mathbb{I}_f$  (پیکسل های مجاور) در قالب  $k$  ام همبستگی وجود دارد. تفاوت محلی بین  $\mathbb{I}_l$  و  $\mathbb{I}_f$  به عنوان معیاری از این همبستگی در نظر گرفته می شود. این تفاوت، خطای پیش بینی نامیده شده و توسط رابطه زیر بدست می آید.

$$\mathbb{E}_k(i) = \mathbb{I}_f(i) - \hat{\mathbb{I}}_{l_k} \quad 1 \leq i \leq 8 \quad (10)$$

خطای پیش بینی، به دلیل افزونگی کمتر نسبت به پیکسل های اصلی می توانند ظرفیت بیشتری به منظور پنهان نگاری داده فراهم کنند. در نظر گرفتن اندازه قالب  $3 \times 3$ ، ماتریس خطای پیش بینی با محاسبه  $\mathbb{E}_k(i)$  برای  $1 \leq i \leq 8$  محاسبه می شود (شکل ۳).

۴-۲- پنهان نگاری داده سربار و داده مفید

با توجه به اینکه استخراج داده و بازیابی تصویر اصلی در گیرنده با دانستن مقادیر  $N'$  محقق می شود بنابراین  $N'$  باید در تصویر رمز شده تعبیه شود. بنابراین  $N'$  به صورت سلسله مراتبی فشرده، رمز و به همراه داده مفید در تصویر رمز شده تعبیه می شود. بر این اساس  $N'$  تبدیل به  $I$  زیر مجموعه به صورت  $\{N'_1, N'_2, \dots, N'_i, \dots, N'_I\}$  می شود. هر  $N'_i$  شامل  $N_b/I$  ویژگی از ظرفیت ذخیره قالب ها می باشد. برای مثال  $N'_1 = \{n'_1, n'_2, \dots, n'_{N_b/I}\}$  از آنجایی که این ویژگی ها متعلق به قالب های مجاور هستند می توان با فشرده کردن تفاوت این ویژگی ها توسط کدبندی حسابی به کارایی بهتری در فشرده سازی دست یافت. با رمز کردن داده های فشرده شده داده های سربار برای هر دسته با نمایش  $\hat{N}' = \{\hat{N}'_1, \hat{N}'_2, \dots, \hat{N}'_i, \dots, \hat{N}'_I\}$  ساخته می شود. در ادامه نحوه پنهان نگاری داده شامل سربار و مفید را در تصویر رمز شده تشریح می کنیم. قالب های متناظر با هر  $\hat{N}'_i$  را به صورت  $B_i$  که خود از  $N_b/I$  زیر قالب تشکیل شده است در نظر می گیریم برای مثال  $B_1 = \{b_1, b_2, \dots, b_k, \dots, b_{(N_b/I)}\}$ . بنابراین مجموعه قالب ها را می توان به صورت  $B = \{B_1, B_2, \dots, B_i, \dots, B_I\}$  بازنویسی کرد. بعد از رمز نگاری تصویر می تواند به صورت  $\hat{B} = \{\hat{B}_1, \hat{B}_2, \dots, \hat{B}_i, \dots, \hat{B}_I\}$  در نظر گرفته شود. در این صورت هر  $\hat{B}_i$  شامل  $N_b/I$  قالب رمز شده کوچک تر است برای مثال  $\hat{B}_1 = \{\hat{b}_1, \hat{b}_2, \dots, \hat{b}_k, \dots, \hat{b}_{(N_b/I)}\}$  شکل ۴ نمایی از این دسته بندی ها را برای اندازه قالب  $3 \times 3$  نشان می دهد. برای شروع پنهان نگاری  $\hat{N}'_1$  به عنوان داده سربار باید در  $\hat{B}$  تعبیه شود. این امر به صورت سلسله مراتبی و با تعبیه  $\hat{N}'_2$  در  $\hat{B}_1$ ،  $\hat{N}'_3$  در  $\hat{B}_2$  و به طور کلی  $\hat{N}'_i$  در  $\hat{B}_{i-1}$  و  $\hat{N}'_I$  در  $\hat{B}_{I-1}$  محقق می شود. نتیجه این پنهان نگاری قالب های حامل  $\{\llbracket \hat{B}_1 \rrbracket, \llbracket \hat{B}_2 \rrbracket, \dots, \llbracket \hat{B}_{I-1} \rrbracket, \dots, \llbracket \hat{B}_I \rrbracket\}$  است. بعد از پنهان نگاری هر  $\hat{N}'_i$  در  $\hat{B}_{i-1}$ ، باقی مانده ظرفیت به منظور تعبیه داده مفید به کار گرفته و ظرفیت قالب آخر ( $\hat{B}_I$ ) تماما به منظور پنهان نگاری داده مفید استفاده می شود. داده مفید قبل از تعبیه توسط  $K_d$  رمز می گردد. الگوریتم پنهان نگاری داده در هر قالب در بخش ۲-۱ تشریح شد به طوری که ( $\Delta$ ) به منظور تعبیه داده در هر  $\llbracket \hat{B}_k(i) \rrbracket - 1 \leq i \leq (m \times l)$  (۱) به کار گرفته می شود. در جایی که  $n'$  و  $l$  به ترتیب با  $n'_k$  و  $\llbracket \hat{B}_k(i) \rrbracket$  جایگزین می شوند.

$\hat{N}'_1$  تنها دسته ای از داده سربار است که پنهان نگاری نشده است. بدین دلیل به سراغ پیکسل های مرزی می رویم که همان طور که در شکل ۴ ترسیم شده با  $\hat{B}$  نمایش داده شده اند. در بخش بعدی شیوه ای متفاوت به منظور تعبیه  $\hat{N}'_1$  در  $\hat{B}$  تشریح می گردد.

۵-۲- تعبیه داده در پیکسل های مرزی

فرایند تعبیه  $\hat{N}'_1$  در پیکسل های مرزی رمز شده ( $\hat{B}_b$ ) در این بخش تشریح می شود. به منظور تعبیه  $\hat{N}'_1$  فضایی می باید در  $\hat{B}_b$  قبل از رمز نگاری فراهم شود. همان طور که در بخش ۲-۱ مطرح شده

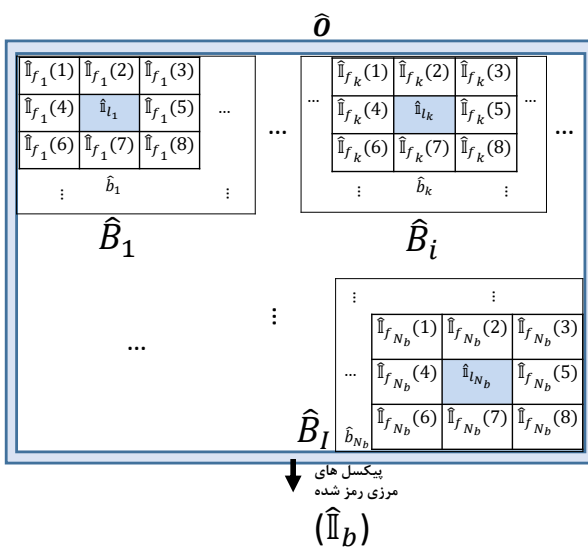
ظرفیت ذخیره برای هر پیکسل با تحلیل خطای پیش بینی مشخص می شود. پیش بینی هر  $\hat{B}_k$  توسط پیکسل قبلی آن  $\hat{B}_{k-1}$  خطای پیش بینی را به صورت ذیل می سازد.

$$\mathbb{E}_{k'(k'-1)} = \hat{B}_{k'} - \hat{B}_{k'-1} \quad (1 < k' \leq K') \quad (16)$$

یک بیت ظرفیت در با بیشترین ارزش ترین بیت  $\hat{B}_{k'}$  فراهم می شود زمانی که رابطه زیر برای خطای پیش بینی برقرار باشد.

$$|\mathbb{E}_{k'(k'-1)}| < 64 \quad (17)$$

بر این اساس، خطای پیش بینی برای تمام پیکسل های مرزی با استفاده از (۱۶) محاسبه و مجموعه  $\{\mathbb{E}_{21}, \mathbb{E}_{32}, \dots, \mathbb{E}_{k'(k'-1)}, \dots, \mathbb{E}_{K'(K'-1)}\}$  برای  $(K' - 1)$  خطا حاصل می شود. با توجه به این واقعیت که پیکسل های مرزی همسایه هستند و تغییرات شدید در پیکسل های مجاور به ندرت اتفاق می افتد، انتظار می رود اکثر خطاهای محاسبه شده طبق رابطه (۱۷) کمتر از ۶۴ باشند هر چند که این رابطه در لبه ها برقرار نیست. بنابراین  $(K' - 1)$  برچسب به صورت  $\{l_2, l_3, \dots, l_{k'}, \dots, l_{K'}\}$ ،  $l_{k'} \in \{0, 1, 2\}$  به  $(K' - 1)$  (۱) خطا نسبت داده می شود تا مشخص کند که این خطا رابطه (۱۷) را برقرار می کند یا نه. محاسبه هر  $l_{k'}$  مطابق با  $\mathbb{E}_{k'(k'-1)}$  طبق الگوریتم ۱ تعیین می گردد. در این الگوریتم  $l$  و  $l_0$  به ترتیب گرد به سمت عدد صحیح کوچکتر و قدر مطلق را محاسبه می کنند. مجموعه برچسب ها فشرده و سپس به وسیله  $K_s$  رمز شده و با  $\hat{L}$



شکل ۴: دسته بندی بلوک های رمز شده شامل پیکسل های

$$m = l = 3, \text{ مرزی}$$

$$\widehat{\mathcal{LN}} = \widehat{\mathcal{L}} \cup \widehat{\mathcal{N}}_1' \quad (18)$$

مجموعه  $\widehat{\mathcal{LN}}$  در  $\widehat{\mathbb{I}}_b$  تعبیه می‌شود و پیکسل‌های مرزی رمز شده حامل  $\llbracket \widehat{\mathbb{I}}_b \rrbracket$  را می‌سازد. در این پنهان‌نگاری  $(k' - 1)$  امین بیت از  $\widehat{\mathcal{LN}}$  یعنی  $\widehat{\mathcal{LN}}_{k'-1}$  در  $\widehat{\mathbb{I}}_{k'}$  طبق رابطه (۱۹) به منظور ایجاد پیکسل حامل  $\llbracket \widehat{\mathbb{I}}_{k'} \rrbracket$  پنهان‌نگاری می‌گردد.

$$\llbracket \widehat{\mathbb{I}}_{k'} \rrbracket = 128 \times \widehat{\mathcal{LN}}_{k'-1} + (\widehat{\mathbb{I}}_{k'} \bmod 128), \quad 2 < k' \leq K' \quad (19)$$

در این صورت مجموعه  $\{\llbracket \widehat{\mathbb{I}}_1 \rrbracket, \llbracket \widehat{\mathbb{I}}_2 \rrbracket, \llbracket \widehat{\mathbb{I}}_3 \rrbracket, \dots, \llbracket \widehat{\mathbb{I}}_{k'} \rrbracket, \dots, \llbracket \widehat{\mathbb{I}}_{K'} \rrbracket\}$  نمایشی از پیکسل‌های مرزی رمز شده حامل است. پیکسل اول ( $\widehat{\mathbb{I}}_1$ ) بدون تغییر باقی می‌ماند و به منظور بازیابی پیکسل‌های دیگر در گیرنده به کار گرفته می‌شود.

### ۲-۶- استخراج داده و بازیابی تصویر اصلی

استخراج داده و بازیابی تصویر اصلی در این بخش تشریح می‌گردد. در گیرنده در ابتدا  $n'_k$  ها بازیابی می‌شوند. نحوه بازیابی آنها در زیربخش بعد توضیح داده می‌شود. در اینجا با فرض در اختیار داشتن  $n'_k$  ها به روند استخراج داده و بازیابی تصویر اصلی می‌پردازیم. با داشتن  $n'_k$  ها، بیت‌های داده از هر پیکسل مجاور  $\llbracket \widehat{\mathbb{I}}_{f_k}(i) \rrbracket$  از  $1 \leq i < m \times l$  با توجه به رابطه زیر استخراج می‌شود.

$$D_i^k = \frac{\sum_{i'=1}^{n'_k} (2^{8-i'} \times \llbracket \widehat{\mathbb{I}}_{f_k}(i) \rrbracket_{8-i'})}{2^{8-n'_k}}, \quad 1 \leq i < m \times l, \quad 1 \leq k \leq N_b \quad (20)$$

در جایی که  $\llbracket \widehat{\mathbb{P}}_{f_k}(i) \rrbracket_a$ ،  $a$  امین بیت از پیکسل  $\llbracket \widehat{\mathbb{P}}_{f_k}(i) \rrbracket$  برای  $0 \leq a < 8$  است. اگر  $n'_k \neq 0$  باشد،  $D_i^k$  داده استخراج شده در قالب  $k$  ام و از پیکسل مجاور  $i$  ام است. با کنار هم قرار دادن  $D_i^k$  ها،  $D$  استخراج می‌شود.  $D$  شامل داده مفید رمز شده و داده سربرار است. پنهان‌کننده توسط  $K_d$  می‌تواند داده مفید را رمز گشایی کند. در اینجا مقادیر بازیابی شده به صورت بولد<sup>۱۱</sup> نمایش داده می‌شوند. برای مثال  $n'_k$  بازیابی شده  $n'_k$  است.

الگوریتم ۱: فرایند برچسب زدن برای هر  $e'_{k'(k'-1)}$   $(1 < k' \leq K')$

```

for  $k' = 2$  to  $K'$  do
     $d_{MSB} = \llbracket \widehat{\mathbb{I}}_{k'} / 128 \rrbracket - \llbracket \widehat{\mathbb{I}}_{k'-1} / 128 \rrbracket$ 
    if  $(\llbracket e'_{k'(k'-1)} \rrbracket < 64)$  then
         $l_{k'} = 0$ 
    else if  $(\llbracket e'_{k'(k'-1)} \rrbracket \geq 64)$  and  $(d_{MSB} == 0)$  then
         $l_{k'} = 1$ 
    else if  $(\llbracket e'_{k'(k'-1)} \rrbracket \geq 64)$  and  $(d_{MSB} == 1)$  then
         $l_{k'} = 2$ 
    end if
end for
    
```

الگوریتم ۲: بازیابی  $\llbracket f_k(i) \rrbracket$  با توجه به مقادیر  $e'(i)$  و  $f'_k(i)$  برای  $(1 \leq i < m \times l)$

```

for  $i = 1$  to  $(m \times l - 1)$  do
     $e'(i) = \llbracket f'_k(i) \rrbracket - \widehat{\mathbb{I}}_{l_k}$ 
    if  $(n'_k == 8)$  or  $(n'_k == 0)$  then
         $\llbracket f_k(i) \rrbracket = \llbracket f'_k(i) \rrbracket$ 
    else if  $|e'(i)| < 2^{(8-n'_k-1)}$  then
         $\llbracket f_k(i) \rrbracket = \llbracket f'_k(i) \rrbracket$ 
    else if  $e'(i) < 0$ 
         $\llbracket f_k(i) \rrbracket = \llbracket f'_k(i) \rrbracket + 2^{8-n'_k}$ 
    else if  $e'(i) > 0$ 
         $\llbracket f_k(i) \rrbracket = \llbracket f'_k(i) \rrbracket - 2^{8-n'_k}$ 
    end if
end for
    
```

الگوریتم ۳: بازیابی  $\widehat{\mathbb{I}}_{k'}$  با استفاده از  $\llbracket \widehat{\mathbb{I}}_{k'} \rrbracket$ ،  $\llbracket \widehat{\mathbb{I}}_{k'-1} \rrbracket$  و  $l_{k'}$  برای  $e'_{k'(k'-1)}$   $(1 < k' \leq K')$

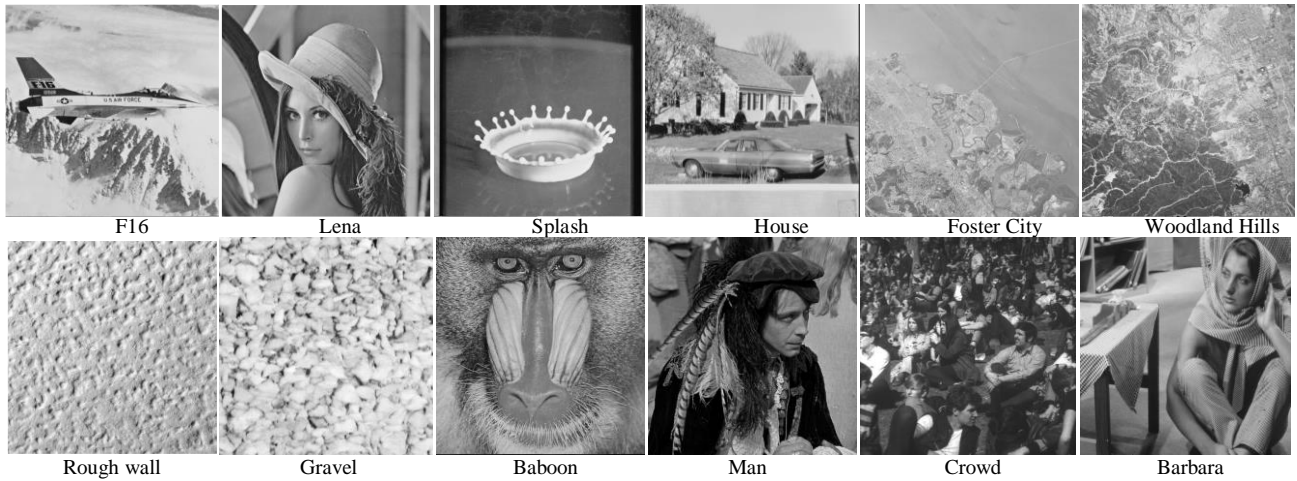
```

for  $k' = 2$  to  $K'$  do
     $e'_{k'(k'-1)} = \llbracket \widehat{\mathbb{I}}_{k'} \rrbracket - \widehat{\mathbb{I}}_{k'-1}$ 
     $\widehat{\mathbb{I}}_{k'} = \llbracket \widehat{\mathbb{I}}_{k'} \rrbracket$ 
    if  $(\llbracket e'_{k'(k'-1)} \rrbracket \geq 64)$  and  $(l_{k'} == 0)$  then
         $\widehat{\mathbb{I}}_{k'} = \llbracket \widehat{\mathbb{I}}_{k'} \rrbracket \text{ xor } 128$ 
    else if  $(l_{k'} == 1)$  then
         $V_1 = \llbracket \widehat{\mathbb{I}}_{k'} \rrbracket \text{ and } 127$ 
         $V_2 = \widehat{\mathbb{I}}_{k'-1} \text{ and } 128$ 
         $\widehat{\mathbb{I}}_{k'} = V_1 + V_2$ 
    else if  $(l_{k'} == 2)$  then
         $V_1 = \llbracket \widehat{\mathbb{I}}_{k'} \rrbracket \text{ and } 127$ 
         $V_2 = \widehat{\mathbb{I}}_{k'-1} \text{ and } 128$ 
         $V_2 = V_2 \text{ xor } 128$ 
         $\widehat{\mathbb{I}}_{k'} = V_1 + V_2$ 
    end if
end for
    
```

نمایش داده می‌شوند.  $\widehat{\mathcal{L}}$  توسط رابطه (۱۸) به  $\widehat{\mathcal{N}}_1'$  الصاق شده و  $\widehat{\mathcal{LN}}$  ایجاد می‌شود.

امین عضو از مجموعه  $\{f_k\}$  یعنی  $\{f_k(i)\}$  در دو مرحله انجام می شود. در مرحله اول  $f_k(i)$  توسط رابطه (۲۱) بدست می آید.

در فرایند بازیابی تصویر اصلی، هر  $\{b_k\}$  باید به مقدار اصلی خود  $b_k$  تبدیل گردد. بنابراین  $\{b_k\}$  توسط  $K_c$  رمز گشایی شده و نتیجه این رمز گشایی قالب  $\{b_k\}$  است که شامل  $\{f_k\}$  و  $\{l_k\}$  می باشد. بازیابی  $i$



شکل ۵: تصاویر تست

جدول ۱: ظرفیت ذخیره فراهم شده توسط الگوریتم پیشنهادی برای تصاویر تست در اندازه بلوک های مختلف

تصاویر												اندازه بلوک
F16	Lena	Splash	House	Foster City	Woodland Hills	Rough wall	Gravel	Baboon	Man	Crowd	Barbara	
۷۹۳۱۲۸	۷۲۱۸۷۵	۸۳۱۹۹۹	۷۱۲۳۲۶	۶۶۷۶۳۵	۴۸۰۶۴۸	۴۸۵۱۴۵	۶۱۶۶۶۵	۴۱۳۴۸۷	۶۱۶۰۶۲	۷۶۷۶۵۲	۵۸۵۶۱۸	کل ظرفیت ذخیره (بیت)
۵۹۸۰۵۰	۵۲۶۸۰۰	۶۳۶۹۲۰	۵۱۷۲۵۰	۴۷۲۵۶۰	۲۸۵۵۷۰	۲۹۰۰۷۰	۴۲۱۵۹۰	۲۱۸۴۱۰	۴۲۰۹۹۰	۵۷۲۵۸۰	۳۹۰۵۴۰	داده مفید (بیت)
۱۹۵۰۸۰	۱۹۵۰۸۰	۱۹۵۰۸۰	۱۹۵۰۸۰	۱۹۵۰۸۰	۱۹۵۰۸۰	۱۹۵۰۸۰	۱۹۵۰۸۰	۱۹۵۰۸۰	۱۹۵۰۸۰	۱۹۵۰۸۰	۱۹۵۰۸۰	داده سربار (بیت)
۲/۲۸	۲/۰۱	۲/۴۳	۱/۹۷	۱/۸	۱/۰۹	۱/۱۱	۱/۶۱	۰/۸۳	۱/۶۱	۲/۱۸	۱/۴۹	داده مفید (bpp)
۷۹	۲۱	۱۲۱	۵۳۱	۲۱	۸۹	۱۴۷	۸۱	۱۳۸۰	۶۷	۸۸	۲۱	مجموع L (بیت)
۸۰۷۴۲۰	۷۳۳۰۰۰	۸۵۸۱۳۰	۷۰۴۶۸۰	۶۷۱۴۱۰	۴۲۱۰۱۰	۴۴۱۹۴۰	۵۹۸۲۹۰	۳۵۶۰۳۰	۵۹۶۲۸۰	۷۴۲۹۶۰	۵۷۳۹۸۰	کل ظرفیت ذخیره (بیت)
۷۲۰۷۲۰	۶۴۶۳۰۰	۷۷۱۴۳۰	۶۱۷۹۸۰	۵۸۴۷۱۰	۳۳۴۳۱۰	۳۵۵۲۴۰	۵۱۱۵۹۰	۲۶۹۳۳۰	۵۰۹۵۸۰	۶۵۶۲۶۰	۴۸۷۲۸۰	داده مفید (بیت)
۸۶۷۰۲	۸۶۷۰۲	۸۶۷۰۲	۸۶۷۰۲	۸۶۷۰۲	۸۶۷۰۲	۸۶۷۰۲	۸۶۷۰۲	۸۶۷۰۲	۸۶۷۰۲	۸۶۷۰۲	۸۶۷۰۲	داده سربار (بیت)
۲/۸۶	۲/۵۷	۳/۰۴	۲/۴۸	۲/۳۶	۱/۳۹	۱/۴۸	۲/۰۷	۱/۱۶	۲/۰۳	۲/۵۶	۱/۹۷	داده مفید (bpp)
۷۰	۲۱	۱۱۱	۵۱۴	۹۱	۱۳۶	۱۱۱	۴۹	۱۰۲۸	۴۸	۱۸۱	۴۹	مجموع L (بیت)
۷۴۱۴۷۰	۶۷۸۲۹۰	۸۰۴۸۱۰	۶۴۰۰۱۰	۶۳۷۹۲۰	۳۴۶۱۹۰	۳۶۴۱۹۰	۵۲۶۹۵۰	۲۹۸۳۵۰	۵۱۴۱۹۰	۶۵۲۴۰۰	۵۱۸۳۹۰	کل ظرفیت ذخیره (بیت)
۶۹۲۶۹۰	۶۲۹۵۱۰	۷۵۶۰۴۰	۵۹۱۲۳۰	۵۸۹۱۵۰	۲۹۷۴۱۰	۳۱۵۴۱۰	۴۷۸۱۸۰	۲۴۹۵۸۰	۴۶۵۴۱۰	۶۰۳۳۲۰	۴۶۹۶۱۰	داده مفید (بیت)
۴۸۷۷۱	۴۸۷۷۱	۴۸۷۷۱	۴۸۷۷۱	۴۸۷۷۱	۴۸۷۷۱	۴۸۷۷۱	۴۸۷۷۱	۴۸۷۷۱	۴۸۷۷۱	۴۸۷۷۱	۴۸۷۷۱	داده سربار (بیت)
۲/۶۴	۲/۴	۲/۸۸	۲/۲۶	۲/۲۵	۱/۱۳	۱/۲	۱/۸۲	۰/۹۵	۱/۷۸	۲/۳	۱/۷۹	داده مفید (bpp)
۷۹	۲۱	۱۲۱	۵۳۱	۲۱	۸۹	۱۴۷	۸۱	۱۳۸۰	۶۷	۸۸	۲۱	مجموع L (بیت)



### ۳- نتایج آزمایش

چندین آزمایش به منظور تشریح کارایی الگوریتم پیشنهادی به خصوص از نظر افزایش ظرفیت ذخیره داده در نظر گرفته می شود. در این آزمایش ۹ تصویر در مقیاس خاکستری Splash, Lena, F16, Gravel, Rough wall, Woodland Hills, Foster City, House از Baboon از پایگاه داده SIPI و سه تصویر Barbara, Crowd, Man از پایگاه داده Miscellaneous (شکل ۵) و ۱۰۰۰۰ تصویر از پایگاه داده BOWS2 در نظر گرفته می شود. تمام تصاویر دارای اندازه ۵۱۲×۵۱۲ هستند.

ظرفیت کلی فراهم شده، تعداد بیت های داده مفید و سر بار و داده مربوط به مجموعه  $\mathcal{L}$  در جدول ۱ برای سه اندازه قالب  $2 \times 2$ ،  $3 \times 3$  و  $4 \times 4$  لیست شده است. ظرفیت کلی فراهم شده مجموع داده مفید و سر بار است. همچنین تعداد بیت های داده مفید به تعداد کل پیکسل های تصویر محاسبه و در جدول با عنوان  $m$  مشخص شده است.

همان طور که دیده می شود با افزایش اندازه قالب ها کاهش قابل توجه در اندازه داده سر بار محقق می شود. اگرچه تغییرات در ظرفیت کلی فراهم شده برای بیشتر تصاویر تست ناچیز است. به بیان دیگر، استفاده از اندازه قالب های  $3 \times 3$  و  $4 \times 4$  داده سر بار کمتری نسبت به اندازه قالب  $2 \times 2$  فراهم می کند در حالی که برای بیشتر تصاویر تست تغییرات قابل توجهی در تعداد بیت های داده مفید اتفاق نیفتاده است. بنابراین استفاده از اندازه قالب  $3 \times 3$  نسبت به  $2 \times 2$  برای همه تصاویر تست بهبود بیشتری فراهم آورده است. همچنین استفاده از اندازه قالب  $4 \times 4$  نسبت به  $2 \times 2$  برای بیشتر تصاویر تست به خصوص تصاویر نرم تر ظرفیت مفید بیشتری را ایجاد کرده است. برای تمام تصاویر، استفاده از اندازه قالب  $3 \times 3$  در مقایسه با  $4 \times 4$  ظرفیت نهان نگاری را افزایش داده است به این دلیل که تقارن بیشتری بین پیکسل مبنا و پیکسل های مجاور در یک قالب  $3 \times 3$  نسبت به  $4 \times 4$  وجود دارد. این تقارن پیش بینی بهتری را از پیکسل های مجاور توسط پیکسل مبنا موجب می شود. تصاویر نرم تر نظیر F16 و Splash به دلیل همین پیش بینی بهتر به مراتب ظرفیت ذخیره بیشتری را نسبت به Baboon, Woodland Hills و Rough Wall برای تمام اندازه قالب ها فراهم می آورند.

برای اندازه قالب های  $2 \times 2$  و  $4 \times 4$  یا  $4 \times 4$  سطر اول تصویر به عنوان پیکسل های مرزی در نظر گرفته می شوند. این پیکسل ها حداکثر ۲۰۴۸ بیت ظرفیت فراهم می کنند. از طرف دیگر برای اندازه قالب  $3 \times 3$ ، دو سطر و یا ستون اول تصویر به عنوان پیکسل های مرزی در نظر گرفته می شود که معادل ۲۰۴۴ بیت ظرفیت فراهم شده است. این پیکسل ها توسط الگوریتم ۱ برچسب زده می شوند. این برچسب ها توسط کدبندی حسابی فشرده و همان طور که گفته شد مجموعه  $\mathcal{L}$  را ایجاد می کنند. تعداد بیت های تشکیل دهنده  $\mathcal{L}$  در

$$\mathbb{I}'_{f_k}(i) = \sum_{i'=1}^{8-n'_k} (2^{i'-1} \times \llbracket \mathbb{I}_{f_k}(i) \rrbracket_{i'-1}) + \sum_{i'=9-n'_k}^8 (2^{i'-1} \times \llbracket \mathbb{I}_{f_k}(i) \rrbracket_{i'-1}). \quad 1 \leq i < m \times l, 1 \leq k \leq N_b \quad (21)$$

و در مرحله دوم،  $\mathbb{I}'_{f_k}(i)$  توسط الگوریتم ۲ بازیابی می شود. در (۲۱)،  $\mathbf{n}'_k$  بیت از  $\mathbf{p}_{l_k}$  که ارزش بیشتری دارند در بیت های متناظر از  $\llbracket \mathbb{I}_{f_k}(i) \rrbracket$  به منظور ایجاد  $\mathbb{I}'_{f_k}(i)$  جایگزین می شوند. فرایند بازیابی برای همه قالب های رمز شده حامل بر طبق روش اشاره شده به منظور بازیابی تصویر اصلی انجام می گردد.

### ۲-۷- بازیابی ویژگی ظرفیت ذخیره هر قالب

در بخش قبل استخراج داده از قالب های رمز شده حامل و بازیابی تصویر اصلی با استفاده از ویژگی ظرفیت ذخیره هر قالب تشریح گردید. در اینجا روش بازیابی این ویژگی ها را توضیح می دهیم. بر این اساس در مرحله اول به منظور بازیابی  $\mathcal{N}'$ ، باید  $\widehat{\mathcal{L}\mathcal{N}}$  از  $\llbracket \mathbb{I}_b \rrbracket$  بازیابی شود. با توجه به این واقعیت که  $\widehat{\mathcal{L}\mathcal{N}}$  در بیت هایی با ارزش بالاتر از  $\llbracket \mathbb{I}_b \rrbracket$  تعبیه شده است،  $\widehat{\mathcal{L}\mathcal{N}}$  برای هر  $\llbracket \mathbb{I}_{k'} \rrbracket$  توسط رابطه زیر بازیابی می شود.

$$\widehat{\mathcal{L}\mathcal{N}}_{k'-1} = \llbracket \llbracket \mathbb{I}_{k'} \rrbracket / 128 \rrbracket \quad 1 < k' \leq K' \quad (22)$$

در جایی که  $(k' - 1)$  امین بیت از  $\widehat{\mathcal{L}\mathcal{N}}$  یعنی  $\widehat{\mathcal{L}\mathcal{N}}_{k'-1}$  از  $\llbracket \mathbb{I}_{k'} \rrbracket$  استخراج می شود. تعداد بیت های استخراج شده  $K' - 1$  است.  $\widehat{\mathcal{L}\mathcal{N}}$  حاصل اتصال  $\widehat{\mathcal{N}}'_1$  و  $\widehat{\mathcal{L}}$  است. با توجه به تعداد بیت های  $\widehat{\mathcal{L}}$  که در ابتدای آن ذخیره شده است می توان  $\widehat{\mathcal{N}}'_1$  و  $\widehat{\mathcal{L}}$  را تفکیک کرد. در نتیجه  $\widehat{\mathcal{L}}$  تفکیک و به منظور بازیابی برچسب ها رمز گشایی و نافشرده می شود. با استفاده از این برچسب ها پیکسل های مرزی احیا می گردند. همچنین  $\widehat{\mathcal{N}}'_1$  رمز گشایی و به منظور ایجاد  $\mathcal{N}'_1$  نافشرده می شود.  $\mathcal{N}'_1$  به منظور استخراج داده از  $\llbracket \mathbb{B}_1 \rrbracket$  شامل داده مفید و  $\widehat{\mathcal{N}}'_2$  به کار گرفته می شود. به طور مشابه  $\widehat{\mathcal{N}}'_2$  به منظور استخراج داده از  $\llbracket \mathbb{B}_2 \rrbracket$  که شامل داده مفید و  $\widehat{\mathcal{N}}'_3$  است به کار گرفته می شود و به همین ترتیب تمام داده ها از تصویر رمز شده استخراج می گردد. آنچه باقی می ماند تنها بازسازی پیکسل های مرزی است. فرایند بازسازی این پیکسل ها در واقع بازیابی ارزشمندترین بیت هر پیکسل است.

اگر مجموعه  $\{\llbracket \mathbb{I}_{k'} \rrbracket\} = \{\llbracket \mathbb{I}_1 \rrbracket, \llbracket \mathbb{I}_2 \rrbracket, \llbracket \mathbb{I}_3 \rrbracket, \dots, \llbracket \mathbb{I}_{k'} \rrbracket, \dots, \llbracket \mathbb{I}_{K'} \rrbracket\}$  را به عنوان پیکسل های مرزی بعد از رمز گشایی در نظر بگیریم به دلیل اینکه پیکسل اول از  $\mathbb{I}_b$  یعنی  $\mathbb{I}_1$  بدون تغییر باقی مانده است به وسیله آن می توان پیکسل  $\llbracket \mathbb{I}_2 \rrbracket$  را بازیابی کرد و به طور کلی  $\mathbb{I}_{k'}$  با استفاده از  $\mathbb{I}_{k'-1}$  و الگوریتم ۳ بازیابی می شود. در این الگوریتم عملگرهای "xor" و "and" بییتی اعمال می شوند و  $\{l_2, l_3, \dots, l_{k'}, \dots, l_{K'}\}$  و  $l_{k'} \in (0, 1, 2)$  به کار گیری رابطه (۲۲) از قبل در دسترس است.

برای بهترین  $\alpha$  و  $\beta$  و اندازه قالب  $3 \times 3$  انجام شده است. در این طرح  $\alpha$  و  $\beta$  دو پارامتر مهم تاثیر گذار در ظرفیت فراهم شده است که دارای حدود  $1 \leq \alpha$  و  $B \leq 7$  می باشد. همچنین تاثیر مدولاسیون پیکسل ها که تاثیر اندکی در کاهش ظرفیت ذخیره فراهم شده دارد در پیاده سازی طرح [۱۸] در نظر گرفته شده است. این مدولاسیون با توجه به ماهیت تصادفی آن می تواند تاثیر متفاوتی بر ظرفیت فراهم شده در هر بار اجرای الگوریتم داشته باشد.

ظرفیت ذخیره برای یکی از دو روش پنهان نگاری معکوس پذیر در تصویر رمز مطرح شده در [۱۷] که بازایی بدون اتلاف تصویر اصلی را تضمین می کند در جدول ۳ تشریح گردیده است. در این روش به غیر از Baboon و Barbara بقیه تصاویر ظرفیتی نزدیک به ۱ bpp نشان می دهند در حالی که در روش پیشنهادی برای تمام تصاویر تست ظرفیتی بیشتر از ۱ bpp برای هر دو اندازه قالب فراهم می شود.

طرح پیشنهادی و [۱۸] ظرفیت ذخیره بهتری را برای تصاویر نرم تر نظیر F16 و Splash و ظرفیت کمتری را برای تصاویر ناهموارتر نظیر Baboon، Rough wall و Woodland Hills فراهم می کنند. برای تمام تصاویر تست و هر دو اندازه قالب روش پیشنهادی ظرفیت ذخیره بهتری از روش مطرح در [۱۸] ایجاد می کند. این بهبود برای تصویر House حتی بیشتر از ۰/۷۷ bpp است. به علاوه در طرح پیشنهادی هیچ پیکسل و یا ویژگی از تصویر اصلی باقی نمانده است که رمز نشده باشد در صورتی که در [۱۸] تفاوت بین برخی پیکسل ها رمز نشده باقی می ماند.

#### ۴- نتیجه

در این مقاله، روش پنهان نگاری معکوس پذیر در تصویر رمز شده معرفی شده است که می تواند ظرفیت بالایی را به منظور ذخیره داده فراهم کند. این امر با بهره گیری از همبستگی پیکسل های مجاور در یک قالب از تصویر و پیش بینی محلی محقق می شود. در این پیش

جدول ۱ نمایش داده شده است. پیکسل های مرزی در Baboon و House ناهموارتر<sup>۱۵</sup> از بقیه تصاویر هستند بنابراین برای این تصاویر تعداد بیت های بیشتری به  $L$  اختصاص می یابد.

در جدول ۲، کارایی الگوریتم پیشنهادی برای همه اندازه قالب ها برای ۱۰۰۰۰ تصویر تست از پایگاه داده Bows2 بررسی شده است. برای اندازه قالب های  $2 \times 2$ ،  $3 \times 3$  و  $4 \times 4$  به ترتیب ۶۸۰، ۵۱۲ و ۵۱۲ قالب به عنوان مجموعه ای از قالب هایی که  $\hat{B}_i$  را شکل می دهند (شکل ۴) به کار گرفته شده است. اگرچه برای تصاویر خیلی ناهموار تعداد این قالب ها می تواند نصف نیز شود که به دلیل افزایش تعداد بیت ها در مجموعه  $L$  و در پی آن کاهش ظرفیت ذخیره در پیکسل های مرزی است.

برای اندازه قالب های  $3 \times 3$  و  $4 \times 4$ ، تصاویر دارای شماره ۱۴۷۸ و ۹۴۴۸ از پایگاه داده Bows2 به ترتیب بهترین و بدترین ظرفیت داده مفید را فراهم می کنند. برای  $2 \times 2$ ، بهترین و بدترین به ترتیب شماره های ۱۴۷۸ و ۵۵۴۷ هستند. این سه تصویر در شکل ۶ نمایش داده شده اند. همان طور که در جدول ۲ تشریح شده است، استفاده از اندازه قالب  $4 \times 4$  نسبت به اندازه های دیگر برای بهترین تصویر (شماره ۱۴۷۸) ظرفیت بهتری را فراهم می آورد. اگر چه برای بدترین تصاویر استفاده از اندازه  $2 \times 2$  نتایج بهتری را نسبت به اندازه قالب های دیگر به دست می دهد. به طور میانگین استفاده از اندازه قالب  $3 \times 3$  بهبودی را به ترتیب بیشتر از ۰/۴ bpp و ۰/۱۱ نسبت به اندازه قالب های  $2 \times 2$  و  $4 \times 4$  موجب می شود. از منظر پیچیدگی محاسباتی، استفاده از اندازه قالب های کوچکتر تعداد قالب ها را افزایش و در پی آن تعداد ویژگی ها، داده سربار و پیچیدگی محاسباتی را بیشتر می کند.

در جدول ۳ طرح پیشنهادی با دو طرح ظرفیت بالا [۱۷] و [۱۸] برای دو اندازه قالب متفاوت مقایسه شده است. شبیه سازی طرح [۱۸]

جدول ۲: تحلیل کارایی الگوریتم پیشنهادی با به کارگیری پایگاه داده BOWS2 که شامل ۱۰۰۰۰ تصویر تست است

اندازه قالب		2 × 2		3 × 3		4 × 4	
بهترین تصویر	بدترین تصویر	بهترین تصویر	بدترین تصویر	بهترین تصویر	بدترین تصویر	بهترین تصویر	بدترین تصویر
کل ظرفیت ذخیره (بیت)	۱۴۳۵۲۶۶	۲۶۷۷۹۵	۸۲۲۸۰۸	۱۶۷۰۰۴۸	۱۷۵۸۸۰	۸۳۶۹۸۷	۱۷۳۳۴۷۵
داده مفید (بیت)	۱۳۹۲۷۷۰	۱۱۱۹۷۹	۶۷۴۵۹۶	۱۶۵۲۳۶۰	۱۰۸۲۲۴	۷۸۰۶۹۱	۱۷۲۲۷۷۱
داده سربار (بیت)	۴۲۴۹۶	۱۵۵۸۱۶	۱۴۸۲۱۲	۱۷۶۸۸	۶۷۶۵۶	۵۶۲۹۶	۳۴۷۰۴
داده مفید (bpp)	۵/۳۱	۰/۴۳	۲/۵۷	۶/۳۰	۰/۴۱	۲/۹۸	۶/۵۷۲
مجموع $L$ (بیت)	۲۱	۷۱۸	۸۵	۲۱	۱۴۵۴	۱۲۳	۲۱
شماره تصویر	۱۴۷۸	۵۵۴۷	-	۱۴۷۸	۹۴۴۸	-	۱۴۷۸

جدول ۳: مقایسه ظرفیت ذخیره فراهم شده در الگوریتم پیشنهادی برای تصاویر تست با دو طرح جدید مطرح در پنهان نگاری معکوس پذیر میزبان

#### رمز

تصاویر	F16	Lena	Splash	House	Foster City	Woodland Hills	Rough wall	Gravel	Baboon	Man	Crowd	Barbara
[۱۷]	۰/۹۸	۰/۹۸	۰/۹۹	۰/۹۴	۰/۹۹	۰/۹۷	۰/۹۹	۰/۹۹	۰/۷۵	۰/۹۲	۰/۹۸	۰/۷۶
[۱۸]	۲/۲۱	۲/۰۲	۲/۶۶	۱/۵۵	۱/۶	۰/۹۹	۱/۲۶	۱/۶۵	۰/۷۵	۱/۴۶	۱/۷۵	۱/۲۹
طرح	۳ × ۳	۲/۴۶	۲/۲۴	۲/۷۲	۲/۰۸	۲/۰۹	۱/۰۳	۱/۶۵	۰/۷۶	۱/۶	۲/۱۳	۱/۶۲

- encryption," *IEEE Transactions on Information Forensics and Security*, vol. 8, no. 3, pp. 553-562, Mar. 2013.
- [12] Z. Yin, Y. Xiang, and X. Zhang, "Reversible data hiding in encrypted images based on multi-MSB prediction and Huffman coding," *IEEE Transactions on Multimedia*, Aug. 2019.
- [13] Y.-C. Chen, T.-H. Hung, S.-H. Hsieh, and C.-W. Shiu, "A new reversible data hiding in encrypted image based on multi-secret sharing and lightweight cryptographic algorithms," *IEEE Transactions on Information Forensics and Security*, vol. 14, no. 12, pp. 3332-3343, Dec. 2019.
- [14] X. Zhang, J. Long, Z. Wang, and H. Cheng, "Lossless and reversible data hiding in encrypted images with public-key cryptography," *IEEE Transactions on Circuits and Systems for Video Technology*, vol. 26, no. 9, pp. 1622-1631, Sep. 2016.
- [15] X. Cao, L. Du, X. Wei, D. Meng, and X. Guo, "High capacity reversible data hiding in encrypted images by patch-level sparse representation," *IEEE Transactions on Cybernetics*, vol. 46, no. 5, pp. 1132-1143, May, May 2016.
- [16] C.-W. Shiu, Y.-C. Chen, and W. Hong, "Encrypted image-based reversible data hiding with public key cryptography from difference expansion," *Signal Processing: Image Communication*, vol. 39, pp. 226-233, Nov. 2015.
- [17] P. Puteaux, and W. Puech, "An efficient MSB prediction-based method for high-capacity reversible data hiding in encrypted images," *IEEE Transactions on Information Forensics and Security*, vol. 13, no. 7, pp. 1670-1681, Jul. 2018.
- [18] S. Yi, and Y. Zhou, "Separable and reversible data hiding in encrypted images using parametric binary tree labeling," *IEEE Transactions on Multimedia*, vol. 21, no. 1, pp. 51-64, Jan. 2019.
- [19] D. Xu, and R. Wang, "Separable and error-free reversible data hiding in encrypted images," *Signal Processing*, vol. 123, pp. 9-21, Jun. 2016.
- [20] Z. Yin, B. Luo, and W. Hong, "Separable and error-free reversible data hiding in encrypted image with high payload," *The Scientific World Journal*, vol. 2014, Apr. 2014.
- [21] W. Zhang, K. Ma, and N. Yu, "Reversibility improved data hiding in encrypted images," *Signal Processing*, vol. 94, no. 1, pp. 118-127, Jan. 2014.
- [22] F. Huang, J. Huang, and Y.-Q. Shi, "New framework for reversible data hiding in encrypted domain," *IEEE Transactions on Information Forensics and Security*, vol. 11, no. 12, pp. 2777-2789, Dec. 2016.
- [23] H. Ge, Y. Chen, Z. Qian, and J. Wang, "A high capacity multi-level approach for reversible data hiding in encrypted images," *IEEE Transactions on Circuits and Systems for Video Technology*, vol. 29, no. 8, pp. 2285 - 2295, Aug. 2019.
- [24] X. Zhang, "Commutative reversible data hiding and encryption," *Security and Communication Networks*, vol. 6, no. 11, pp. 1396-1403, 2013.
- [25] X. Zhang, "Separable reversible data hiding in encrypted image," *IEEE Transactions on Circuits and Systems for Video Technology*, vol. 7, no. 2, pp. 826-832, Apr. 2012.
- [26] J. Zhou, W. Sun, L. Dong, X. Liu, O. C. Au, and Y. Y. Tang, "Secure reversible image data hiding over encrypted domain via key modulation," *IEEE Transactions on Circuits and Systems for Video Technology*, vol. 26, no. 3, pp. 441-452, Mar. 2016.
- [27] Z. Qian, and X. Zhang, "Reversible data hiding in encrypted images with distributed source encoding," *IEEE Transactions on Circuits and Systems for Video Technology*, vol. 26, no. 4, pp. 636-646, Apr. 2016.

بینی تفاوت بین پیکسل‌های مجاور و پیکسل مینا به منظور دستیابی به خطای پیش بینی محاسبه می‌شود. با ارزیابی این خطاها ویژگی ظرفیت ذخیره هر قالب به دست آمده و از آنها به منظور ایجاد فضا برای پنهان‌نگاری قبل از رمزنگاری تصویر بهره می‌بریم. این ویژگی‌ها فشرده و بعد رمز و به عنوان داده سربرار به همراه داده مفید در تصویر رمز شده تعبیه می‌شوند. این تعبیه خود با بهره‌گیری از ویژگی ظرفیت ذخیره هر قالب و به شیوه سلسله‌مراتبی محقق می‌شود. در گیرنده در ابتدا داده سربرار استخراج و در ادامه با رمزگشایی و نافشرده سازی ویژگی ظرفیت ذخیره هر قالب بازیابی می‌شود. سپس با استفاده از این ویژگی‌ها تصویر اصلی به طور کامل بازیابی و داده مفید بدون خطا استخراج می‌شود.

طرح پیشنهادی بهبود محسوسی در ظرفیت ذخیره داده نسبت به روش‌های موجود فراهم می‌کند. همچنین در روش ما به شرط عدم تغییر چیدمان پیکسل‌ها و بیت‌ها در هر قالب می‌توان از هر روش رمزنگاری و یا هر الگوریتم رمزنگاری بهره برد.

## مراجع

- [1] Y.-Q. Shi, X. Li, X. Zhang, H.-T. Wu, and B. Ma, "Reversible data hiding: advances in the past two decades," *IEEE Access*, vol. 4, pp. 3210-3237, 2016.
- [2] J. Tian, "Reversible data embedding using a difference expansion," *IEEE Transactions on Circuits and Systems for Video Technology*, vol. 13, no. 8, pp. 890-896, Aug. 2003.
- [3] Z. Ni, Y.-Q. Shi, N. Ansari, and W. Su, "Reversible data hiding," *IEEE Transactions on Circuits and Systems for Video Technology*, vol. 16, no. 3, pp. 354-362, Mar. 2006.
- [4] T. Kalker, and F. M. Willems, "Capacity bounds and constructions for reversible data-hiding," in *Proc. International Conference on Digital Signal Processing*, Santorini, Greece, Greece, 2002, pp. 71-76.
- [5] V. Sachnev, H. J. Kim, J. Nam, S. Suresh, and Y. Q. Shi, "Reversible watermarking algorithm using sorting and prediction," *IEEE Transactions on Circuits and Systems for Video Technology*, vol. 19, no. 7, pp. 989-999, Jul. 2009.
- [6] X. Li, W. Zhang, X. Gui, and B. Yang, "A novel reversible data hiding scheme based on two-dimensional difference-histogram modification," *IEEE Transactions on Information Forensics and Security*, vol. 8, no. 7, pp. 1091-1100, Jul. 2013.
- [7] C.-H. Yang, and M.-H. Tsai, "Improving histogram-based reversible data hiding by interleaving predictions," *IET Image Processing*, vol. 4, no. 4, pp. 223-234, Aug. 2010.
- [8] X. Li, B. Yang, and T. Zeng, "Efficient reversible watermarking based on adaptive prediction-error expansion and pixel selection," *IEEE Transactions on Image Processing*, vol. 20, no. 12, pp. 3524-3533, Dec. 2011.
- [9] P. Tsai, Y.-C. Hu, and H.-L. Yeh, "Reversible image hiding scheme using predictive coding and histogram shifting," *Signal Processing*, vol. 89, no. 6, pp. 1129-1143, Jun. 2009.
- [10] S. Xiang, and X. Luo, "Reversible data hiding in homomorphic encrypted domain by mirroring ciphertext group," *IEEE Transactions on Circuits and Systems for Video Technology*, vol. 28, no. 11, pp. 3099-3110, Nov. 2018.
- [11] K. Ma, W. Zhang, X. Zhao, N. Yu, and F. Li, "Reversible data hiding in encrypted images by reserving room before

[30] X. Wu, and W. Sun, "High-capacity reversible data hiding in encrypted images by prediction error," *Signal Processing*, vol. 104, pp. 387-400, Nov. 2014.

[28] X. Zhang, "Reversible data hiding in encrypted image," *IEEE Signal Processing Letters*, vol. 18, no. 4, pp. 255-258, Apr. 2011.

[29] W. Hong, T.-S. Chen, and H.-Y. Wu, "An improved reversible data hiding in encrypted images using side match," *IEEE Signal Processing Letters*, vol. 19, no. 4, pp. 199-202, Apr. 2012.

### زیر نویس ها

<sup>9</sup> Cloud computing

<sup>10</sup> LSB

<sup>11</sup> Patch-level sparse

<sup>12</sup> MSB

<sup>13</sup> Median edge detector

<sup>14</sup> Bold

<sup>15</sup> Rougher

<sup>1</sup> Block

<sup>2</sup> Uncompressed

<sup>3</sup> Reversible data hiding

<sup>4</sup> Lossless

<sup>5</sup> Difference expansion

<sup>6</sup> Histogram modification

<sup>7</sup> Prediction error

<sup>8</sup> Sharper